

| d) 10 moles %. | | | |
|----------------|-----|-------------------|--------|
| T. | P. | dt/dp. | dp/dt. |
| [—0°5 | 1] | — | — |
| 10°00 | 228 | | |
| 20°00 | 475 | 0,0405 | 24,7 |
| 25°00 | 590 | 0,0435 | 23,0 |
| 30°00 | 708 | 0,0420 | 23,6 |
| 35°00 | 830 | 0,0409 | 24,0 |
| | M = | 0,0417 | 23,9 |
| | δ = | 1,151 (extrapolé) | |

Ici, contrairement à ce que nous avons observé pour les concentrations riches en aniline, seules les valeurs aux hautes pressions (à partir de 600 kg/cm² environ) correspondent à la branche cyclohexane-palier triphasique. En effet, comme on peut le voir sur le diagramme VI, en dessous de ces pressions, cette branche se raccourcit et au mélange 90 m. % de cyclohexane correspond déjà le palier triphasique.

Cependant, il est à remarquer que sous des pressions où la branche cyclohexane-palier triphasique n'existe plus, il est encore possible d'obtenir des valeurs de fin de fusion, correspondant sans doute à des systèmes non homogènes. Pour ces valeurs, il y a moyen de déterminer également la température de fusion du palier triphasique.

5. Variation de la concentration eutectique.

D'après les valeurs des dt/dp des deux composants (aniline : 0,0191, δ : 1,072; cyclohexane 0,0512, δ : 1,182) ou même du palier triphasique (dt/dp : 0,0372, δ : 1,136) on doit s'attendre à ce que la composition eutectique varie et que la concentration en aniline augmente.

Du fait qu'il ne nous a pas été possible de déterminer la pression de fin de fusion des mélanges proches de la composition eutectique, force nous a été de tracer sur le diagramme P- %, les diverses isobares sans tenir compte de ces valeurs et en admettant que la concentration eutectique ne varie pas.

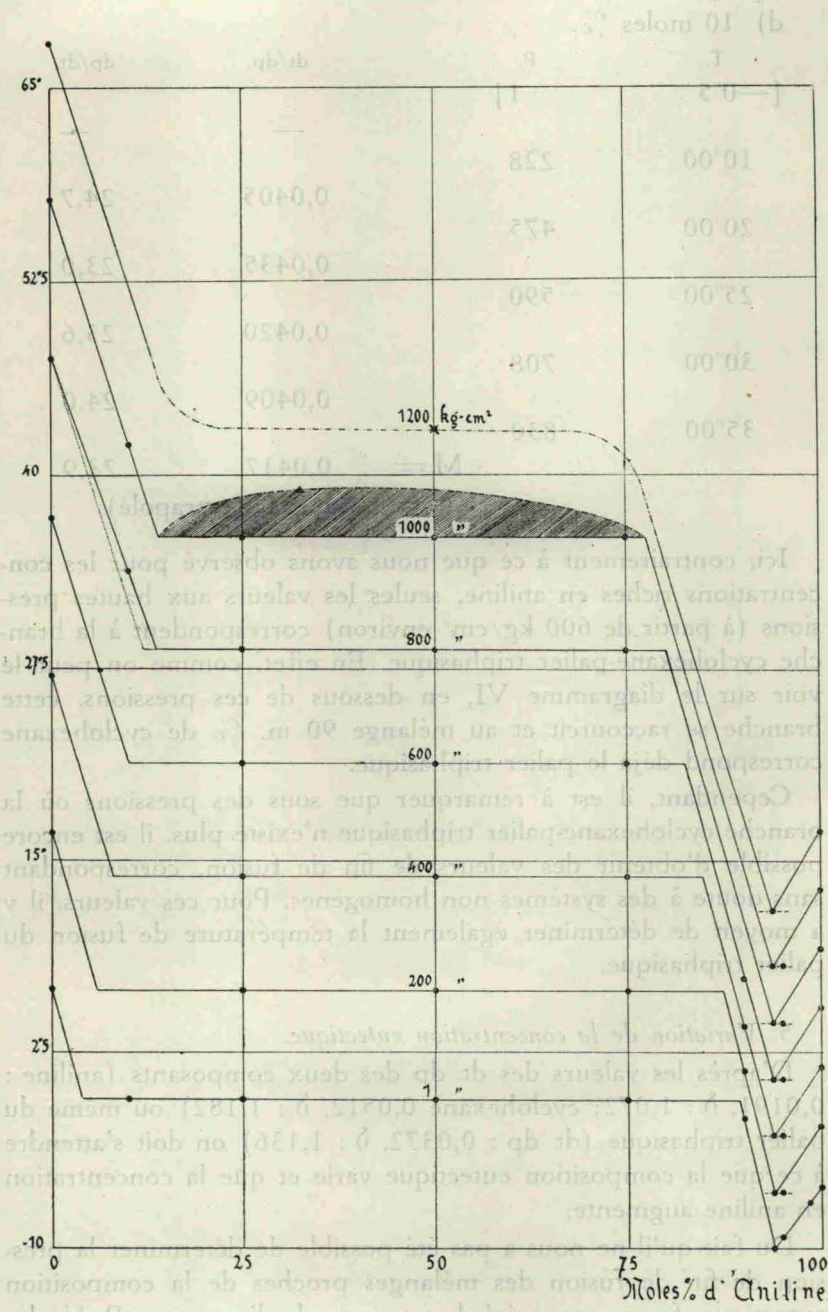


Diagramme VI.